

# **ВЛИЯНИЕ РАЗМЕРА ЗЕРНА ФЕРРИТА НА ФОРМИРОВАНИЕ ПОЛОС ДЕФОРМАЦИИ В НИЗКОУГЛЕРОДИСТОЙ СТАЛИ**

## **INFLUENCE OF GRAIN SIZE OF FERRIT ON FORMING OF BARS DEFORMATION IN LOW-CARBON STEEL**

*<sup>1</sup>Ігорь Вакуленко, <sup>2</sup>А. Кавалек, <sup>2</sup>Б. Кочуркевич*

<sup>1</sup>Дніпропетровський національний університет залізничного, кафедра «Технологія матеріалів» <sup>2</sup>Czestochowa University of Technology, Faculty of Material Processing Technology and Applied Physics, Institute of Metal Forming and Safety Engineering

### **Abstract**

The observed of yield point and put together them to be the result of a directional variation in the grain size of ferrite to cause nucleation of mobile dislocations for formation bars deformation in low carbon steel.

### **Введение**

Для однофазных сплавов и низко углеродистых сталей основной структурной характеристикой является размер зерна [1]. После достижения определенной степени пластической деформации, когда нарушается соотношение между процессами прироста количества дислокаций и равномерностью их распределения в пределах одного зерна, возникают условия формирования периодических дислокационных структур. Считается, что указанные процессы дислокационной перестройки в значительной степени обусловлены структурными изменениями в матрице металла уже на первых этапах распространения пластической деформации [2]. Учитывая, что участок прерывистой деформации имеет практическое значение при изготовлении изделий холодным деформированием, представляет определенный научный интерес объяснение процессов формирования зародыша полосы деформации в низкоуглеродистой стали.

### **1. Материал и методика исследований**

Материалом для исследования служила низкоуглеродистая сталь с содержанием углерода 0,06%. Различный размер зерна феррита получали за счет комбинации обработок: закалки от нормальных температур нагрева, отпуска, пластической деформации и отжига. Механические свойства определялись при испытаниях на растяжение со скоростью деформации  $10^{-3} \text{ s}^{-1}$ . Размер зерна феррита определяли используя методики количественной металлографии.

## 2. Результаты исследований и их обсуждение

Для низкоуглеродных сталей измельчение зерна феррита ( $d$ ) сопровождается увеличением предела текучести ( $\sigma_T$ ), что подчиняется уравнению:

$$\sigma_T = \sigma_i + k_y d^{-\frac{1}{2}} \quad (1)$$

где  $\sigma_i$  – напряжение трения кристаллической решетки,  $k_y$  – величина, оценивающая степень сопротивления границ зерна процессу распространения пластической деформации. Уже при напряжениях ниже предела текучести, можно наблюдать необратимое перемещение дислокаций, что приводит к росту их концентрации вблизи с большеугловыми границами зерен (рис. 1 а, б).

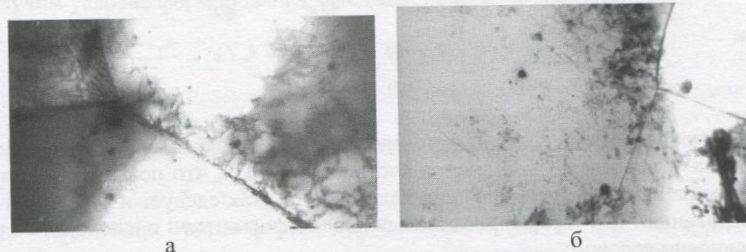


Рис. 1. Дислокационная структура феррита после деформации 1% (а, б).  
Увеличение 20000

Указанное явление будет сопровождаться обязательным изменением сопротивления границ зерна распространению деформации [1, 2], хотя по уравнению (1) величина  $k_y$  должна быть постоянной. На основании этого неопределенность в определении  $k_y$  привела к необходимости разработки другой методики оценки параметров уравнения (1). В работе [3] впервые была предложена методика определения параметров уравнения (1), на основе анализа кривой деформации (экстраполяция области однородного деформационного упрочнения на нулевую пластическую деформацию) (рис. 2). В результате были получены, как считалось сначала идентичные характеристики, хотя указанные параметры ( $\sigma_i$  и  $k_y$ ) уже были зависимыми от  $d$ . Параметры уравнения (1), которые определяются по методике экстраполяции кривой деформации, имеют уже несколько иной смысл [1]:  $\sigma_i$  – напряжение необратимого перемещения дислокаций и  $k_y$  – концентрация напряжения необходимая для работы источника дислокаций. В работе [2] показано, величина  $\sigma_0$  может быть описана соотношением:

$$\sigma_0 = \sigma_i + \frac{k_y}{\sqrt{2}d} + \alpha \mu b \sqrt{\rho_m} \quad (2)$$

где  $\alpha$  – постоянная,  $\mu$  – модуль сдвига,  $b$  – вектор Бюргерса,  $\rho_{m\rho_m}$  – плотность подвижных дислокаций.

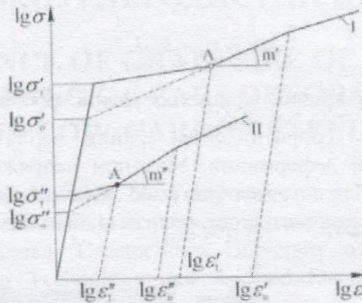


Рис. 2. Методика определения величин  $\sigma_0$  и  $k_y'$  ( $k_y' = \frac{\sigma_T - \sigma_0}{d^{\frac{1}{2}}}$ )

Для определения условий формирования зародыша полосы деформации (Чернова–Людерса) воспользуемся соотношением (2), что позволит оценить раздельное влияние составляющих величины  $\sigma_0$ . Как следует из результатов исследования [3], формирование полос деформации происходит при выполнении условий:

$$\sigma_d > \sigma_i \quad (3)$$

где  $\sigma_d$  – напряжение разблокирования дислокаций, которое входит в уравнение (1) в виде  $\sigma_d = k_y d^{\frac{1}{2}}$ . Из анализа кривых нагружения следует, что величина  $\sigma_0$  для горячекатанных и отожженных сталей значительно ниже чем для термически упрочненных. Рассматривая первое слагаемое уравнения (2) можно видеть, что величина  $\sigma_i$  закаленной стали значительно превосходит аналогичную характеристику стали в отожженном состоянии. Обусловлено это сохранением повышенной плотности дислокаций, которые были введены в систему при закалке даже после продолжительного отпуска при повышенных температурах [1, 2]. Другое слагаемое соотношения (2) определяется из анализа кривой деформации. Для закаленных сталей, независимо от температуры отпуска, развитие процессов перераспределения атомов углерода в  $\alpha$  – твердом растворе и их переход на дислокации способствуют торможению дислокаций. В результате наблюдается увеличение  $\sigma_i$  и снижение  $k_y$ . Третье составляющее уравнения (2) позволяет оценить вклад от процессов зарождения дислокаций при формировании фронта полосы деформации. Учитывая данные [4], величина  $\sigma_m$  может быть оценена по соотношению:

$$\rho_m = \frac{\varepsilon_l}{bd} \quad (4)$$

где  $\varepsilon_l$  – деформация Людерса. Как следует из рис. 2, увеличение размера зерна феррита будет сопровождаться вполне закономерным уменьшением различия между абсолютными значениями  $\sigma_T$  и  $\sigma_0$  (рис. 2). В свою очередь, величина  $\varepsilon_l$  будет непрерывно уменьшаться. При выполнении равенства:

$$\sigma_T \approx \sigma_0 \quad (5)$$

деформация Людерса должна отсутствовать. После подстановки в (5) соответствующих соотношений для  $\sigma_T$  и  $\sigma_0$  и проведения преобразований, получим условие формирования зародыша полосы деформации:

$$\rho_m > \left(\frac{\sigma_i}{\mu b}\right)^2 \quad (6)$$

Подставляя в (6) реальные значения характеристик ( $\mu = 8,2 \cdot 10^4 \text{ дин/м}$ ,  $b = 2,48 \cdot 10^{-7} \text{ м}$ ,  $\sigma_i \approx 15 - 20 \text{ дин/м}^2$  [1,2,4], хотя имеются и другие данные), можно получить оценочное значение  $\rho_m \approx 4 \cdot 10^{-5} \text{ м}^{-2}$ , ниже которого полоса деформации не должна формироваться. Для проверки полученного значения можно воспользоваться соотношением (4) и реальными экспериментальными данными. На рис. 3 приведена зависимость величины  $\varepsilon_l$  (1) и деформации формирования дислокационной периодической структуры ( $\varepsilon_n$ ) (2) от размера зерна феррита ( $d^{-\frac{1}{2}}$ ,  $i^{-\frac{1}{2}}$ ).



Рис. 3. Влияние размера зерна феррита ( $d^{-\frac{1}{2}}, i^{-\frac{1}{2}}$ ) на  $\varepsilon_l$  (1) и  $\varepsilon_n$  (2)

Экстраполируя зависимости  $\varepsilon_l, \varepsilon_n \sim f(d^{-\frac{1}{2}})$  до пересечения с осью абсцисс, определим величину  $d$ , которой должен соответствовать момент распада равномерного распределения дислокаций и, как следствие этого, исчезновения деформации Людерса. Значение  $d$  составляет примерно 500–700 мкм. Подставляя в (4) для исследуемой стали  $d=115$  мкм и соответствующее значение  $\varepsilon_l=10^{-2}$  (рис. 3) было получена величина  $\rho_m=3,5 \cdot 10^5 i^{-1} i^{-2}$ . Таким образом, при увеличении размера зерна и одновременном уменьшении  $\varepsilon_l$ , будет снижаться необходимая плотность подвижных дислокаций, требуемая для формирования фронта полосы Чернова – Людерса. Одновременно с этим будут возрастать параметры деформационного упрочнения, свидетельствующие о приросте дислокаций до значений обеспечивающих поддержание пластического течения. Чем больше размер зерна и выше скорость накопления дислокаций, тем сложнее поддерживать равномерность распределения дислокаций в пределах одного зерна феррита. Распад равномерного распределения дислокаций на периодические структуры препятствует достижению условий формирования фронта полосы деформации.

### **Вывод**

Распад равномерного распределения дислокаций на периодические структуры при формировании фронта полосы деформации, является одной из основных причин отсутствия области прерывистого течения на кривых деформации низкоуглеродистых сталей.

### **Литература**

1. Бабич В.К., Гуль Ю.П., Долженков И.Е.: Деформационное старение стали. М.: Металлургия, 1972, с. 320.
2. Вакуленко И.А.. Больщаков В.И.: Морфология структуры и деформационное упрочнение стали. Днепропетровск: Маковецкий, 2008, с. 196.
3. Cottrell A.H.: Theory of brittle fracture in steel and similar metals, Trans. Met. Soc. AIME, 1958, V 212, pp. 192–209.
4. Garofalo F.: Factors affecting the propagation of a Luders band and the lower yield and flow stresses in iron, Met. Trans. 1971, V. 2, № 8, p. 2315–2317.